

اعداد خرائط لمؤشرات التدهور الكيميائي في التربة باستخدام التنبؤ المكاني الاعتيادي

اوراس محي طه صفا مهدي عبد الكاظم سامر محي طه

كلية الزراعة / جامعة القاسم الخضراء

المستخلص

اجريت الدراسة في الجزء الشرقي من محافظة بابل في وسط العراق و تقع بين خطى عرض N 32°20'06.95" الى N 33°02'05".85 وخطى طول E 44°10'56.30" الى E 45°06'13.38". تهدف هذه الدراسة الى اعداد خرائط لمؤشرات التدهور الكيميائي في التربة (خرائط الملوحة و نسبة امتزاز الصوديوم و النسبة المئوية للصوديوم المتبدال في التربة) باستخدام التنبؤ المكاني الاعتيادي Ordinary Kriging وان دقة معامل التحديد الخطى في تمثيل الموديل التنبؤى الكروي لهذه المؤشرات الثلاثة هي 0.9999 و 0.9561 و 0.9525 لكل من خارطة الملوحة و النسبة المئوية للصوديوم المتبدال و نسبة امتزاز الصوديوم في التربة . كما اظهرت الدراسة تطابقاً واضحاً في التوزيع المكاني عند اعداد خرائط مركبة لملوحة التربة بدلاًلة المؤشرين الآخرين .

Soil Chemical Degradation indicators mapping by using Ordinary Kriging prediction

Aurass Muhi Taha Safa Mahdi Abd-Elkadhem Samer Muhi Taha
Agric. College / Al-Qasim Green Univ.

Abstract

The study Carried out in the eastern part of Babylon Province . located between latitude 32° 20'06".95 to 33°02'05".85 N and longitude 44°10'56".30 to 45° 06'13".38 E . The main objective of this study is to production maps for Soil Chemical Degradation indicators (EC , ESP% and SAR maps) by using Ordinary Kriging prediction . The accuracy of linear regression factor for representing Spherical model of there three indicators was 0.9999 , 0.9561 and 0.9525 for Salinity , ESP% and SAR respectively . In addition , study showed clear congruency in spatial distribution within complex soil salinity mapping by other salinity indictors .

التربة عندما تزيد الاصحالية الكهربائية عن 4 ديسمنزم⁻¹ و تتجاوز النسبة المئوية للصوديوم المتبدال عن 15 % ، الا ان حدوث التدهور بصورة واقعية يتم عندما تزيد نسبة الصوديوم الممتنز في التربة عن 12 ، لذا اكد Zare-Mehrjardi ، 2010 على اهمية التنبؤ المكاني ضمن برامجيات نظم المعلومات الجغرافية كوسيلة فاعلة في التنمية المستدامة للنظم الزراعية الحديثة لما تتضمنه من اعداد خرائط عالية الدقة لملوحة التربة و الصفات المرتبطة بها مما يسهل تقدير اتجاه انتشارها و تشخيص مناطق الاهتمام او القوة في تنفيذ برامج ادارة التربة و المياه مما يسهل الحد من التدهور الملحي و تعظيم انتاجية الارض . و بين Moasherri و اخرون ، 2013 اهمية اعداد خرائط نسبة امتزاز الصوديوم في التربة باسلوب التنبؤ المكاني لما يحمله من دلالة هامة على شدة عمليات التدهور الملحي في المنطقة ، و خاصة في ترب المناطق الجاف التي تعتمد نوعية مياه ري رديئة و ذات نسبة امتزاز للصوديوم مرتفعة . كما اكد Darwish و اخرون ، 2014 على ضرورة اعتماد النسبة المئوية للصوديوم المتبدال ، فضلاً عن نسبة امتزاز الصوديوم في التربة كمؤشرات بيئية هامة عند التنبؤ عن نمط التوزيع المكاني لمظاهر التدهور الملحي في ترب المناطق الجافة

المقدمة

تعد عمليات التراكم الملحي من ابرز مظاهر التدهور الكيميائي في ترب المناطق الجافة من العالم ، اذ غالباً ما تتجه مساحات كبيرة من هذه الترب لتصبح صحارى ملحية نتيجةً لاستخدام مصادر اروائية تكون في غالبيتها مالحة و رديئة النوعية ، و ان من واجبات اعمال مسوحات الترب في هذه المناطق احصاء المساحات المتدهورة و انتاج الخرائط لفهم المؤشرات التي تبين مقدار التدهور فيها ، و هذا يتحقق عند اعتماد اساليب الاحصاء الجيولوجي في اعداد هذه خرائط Douaika و اخرون ، 2005 ، اذ اكد Brus و Heuvelink ، 2007 على فاعلية و دقة التنبؤ المكاني Kriging في اعداد خرائط ملوحة التربة ضمن برامجيات نظم المعلومات الجغرافية مع الحرية في اجراء اختبارات احصائية جيولوجية متنوعة لاختيار الموديل التنبؤى الذي يلائم نمط توزيع قيم الملوحة في منطقة الدراسة على ان يكون توزيع العينات ممثلاً لكافة التغيرات الملحة دون التركيز على المناطق المتدهورة او الصالحة للزراعة منها فقط . ان عتبة التدهور الملحي في التربة اشار اليها Seilsepour و اخرون ، 2009 ، اذ تحدث مظاهر اولية للتدهور الملحي في

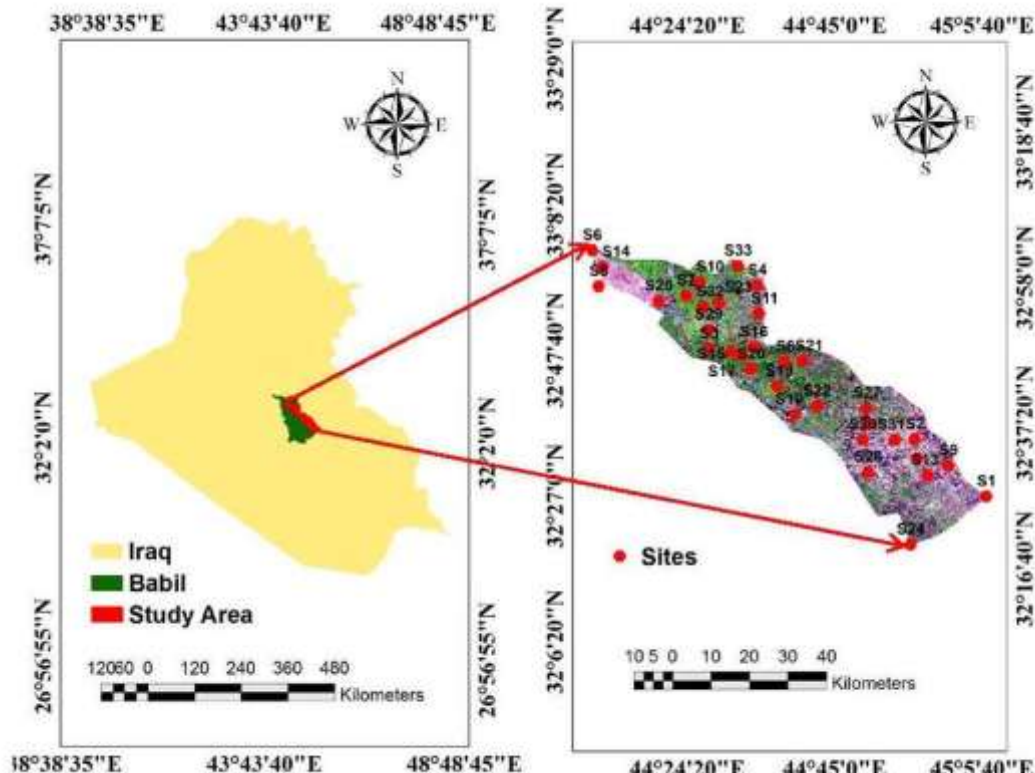
لمؤشرات التدهور الكيميائي في التربة (EC , ESP% and SAR mapping Ordinary Kriging الجغرافية ArcGIS و المنتجة من قبل شركة Esri ، 2013 .

المواد و طرائق العمل

1. موقع الدراسة :

يظهر الشكل (1) حدود المنطقة التي اجريت فيها الدراسة في الجزء الشرقي من محافظة بابل في وسط العراق ضمن المنطقة الممتدة من الاسكندرية شمالاً وصولاً الى منطقة كيش الاثرية جنوباً بين خطى عرض N 32°0'06.95"E إلى N 33°02'05.85"E وخطى طول E 44°10'56.30"E إلى E 45°06'13.38"E و تبلغ مساحتها 190242 هكتار ، اذ تم تحديد 33 موقعاً باستخدام جهاز GPS بنظام احداثي UTM و سقطت مكانيًّا على صورة فضائية التقاطها المتخصص Landsat8 في 2014/6/20 والتي تم الحصول عليها من الانترنت من الامريكي المسح الجيولوجي www.remotesensing.usgs.gov

بغية العمل على انحسار و تقيد تقدم الزحف الملحي نحو المناطق الزراعية ذات المحتوى الملحي غير الصار للنموا الفسلجي للنبات و المحافظة عليها وفق برنامج اداري سليم . كما اكد Lehman و اخرون ، 2015 على ضرورة توثيق التغير المكاني لملوحة التربة و مؤشراتها و خاصة النسبة المئوية للصوديوم المتبادل و نسبة امتراز الصوديوم في التربة ضمن قاعدة بيانات نظم المعلومات الجغرافية نظم المعلومات الجغرافية لما تمثله من تهديد جاد يؤثر سلباً في تنفيذ اهداف التنمية المستدامة في اي بلد زراعي و خاصة في المناطق الجافة من العالم ذات مادة الاصل الملحي و التي لا تخضع معظم مساحاتها الزراعية الى نظام صرف جيد ، اذ اكد Panagopoulos و اخرون ، 2015 على ضرورة اعداد خرائط التوزيع المكاني للنسبة المئوية للصوديوم المتبادل و نسبة امتراز الصوديوم في التربة لتفسير التوزيع الملحي فيها ، و عدتها وسيلة فاعلة و طبيعية لنقل واقع حال الترب المتدحرة ملحة و عرضها مباشرة وبأسلوب ارشادي واعد لفهم معوقات الانتاج و موقعه في المنطقة الزراعية و بما يخدم الباحثين و المزارعين فيها . و لما كانت ترب محافظة بابل خاضعة لتأثير عمليات التراكم الملحي و تفترق مسوحات التربة فيها الى اعتماد نمط تطبيقي يمكن استخدامه حفلياً و مختبرياً لانتاج خرائط دورية لملوحة التربة و عرضها بصيغة ارشادية انمائية تخدم الباحثين و المزارعين في هذه المنطقة الهامة من العراق لذا تهدف هذه الدراسة الى استباط خرائط



الشكل(1): يوضح موقع منطقة الدراسة بالنسبة للعراق و محافظة بابل مع تمثيل لمواقع استحصال العينات .

استخدم نفس PH meter وفقاً لـ Page وآخرون، 1982 . كما استخدم المستخلص وفقاً لـ Richards، 1954 لتقدير الايونات الذائبة الموجبة ، اذ تم تقدير البوتاسيوم والصوديوم الذائبين فتم تقديرهما باستخدام جهاز قياس العناصر باللهم Flame photometer ، في حين قدر الكالسيوم والمغنيسيوم الذائبين بتسريحهما مع الفرسينيت Na_2EDTA بتركيز 0.01 N . و تم حساب نسبة امتزاز الصوديوم في التربة SAR من المعادلة :

(1)

$$\text{SAR} = \frac{\text{Na}}{\sqrt{\frac{(\text{Ca} + \text{Mg})}{2}}} \dots [1]$$

العناصر باللهم Flame photometer وفقاً لـ Page وآخرون ، 1982 ، ثم احسبت النسبة المئوية للصوديوم المتداول في التربة بتطبيق المعادلة (2) :

$$\text{ESP \%} = \frac{\text{exch. Na}}{\text{CEC}} * 100 \dots [2]$$

2. العمل الحقلي والمخبري :

اخذت عينات التربة المركبة لعمق 0-30 سم من الموقع المؤشرة في الشكل (1) ، ثم جفت هوانئاً تحت درجة حرارة المختبر وفككت ومررت من منخل 2 ملم ، ثم حفظت في علب بلاستيكية واجريت عليها التحاليل الكيميائية المبنية نتائجه في الجدول (1) ، اذ تم تقدير كل من الايصالات الكهربائية و درجة تفاعل التربة في المستخلص 1:1 بجهاز Ec meter

(1)

و قدرت السعة التبادلية الكاتيونية (CEC) وفقاً لـ Papanicolaou، 1976 الخاصة بالترسب الجبسية والكلسية ، كما استخلص ايون الصوديوم المتداول (exch. Na) باستخدام خلات الامونيوم (NH_4Cl) ، ثم قدر تركيزها باستخدام جهاز قياس

$$\text{exch. Na} = \frac{\text{Na}}{\text{CEC}} * 100 \dots [2]$$

3. الوسائل الاحصائية

1. اجراء التحليل المكانى وفقاً لمعادلة التغاير الموزون Variogram و كالاتى :

$$2 \gamma(\mathbf{h}) = \frac{1}{n(\mathbf{h})} \sum_{i=1}^{n(\mathbf{h})} [\mathbf{Z}(x_i) - \mathbf{Z}(x_i + \mathbf{h})]^2 \dots [3]$$

، اذ ان x_i متغير ما يتبع عن المتغير $x_i + h$ بازاحة مكانية مقدارها h ، و بأسلوب Ordinary Kriging و بتطبيق الموديل الكروي Spherical Model

$$\gamma_{a,b}^{sph}(\mathbf{h}) = \begin{cases} b \left(\frac{3}{2} \frac{|\mathbf{h}|}{a} - \frac{1}{2} \left(\frac{|\mathbf{h}|}{a} \right)^3 \right), & \text{if } 0 \leq |\mathbf{h}| \leq a \\ b, & \text{otherwise} \end{cases} \dots [4]$$

1. صنفت خارطة ملوحة التربة وفقاً لـ S . O . L . R . 1982، و SAR و ESP% و Seilsepour و اشار اليها آخرون ، 2009 .

2. تم انتاج خرائط مؤشرات التدهور بصيغ خارطة ملوحة التربة – SAR و خارطة ملوحة التربة – ESP% و خارطة ملوحة التربة – SAR – ESP% ، اذ تم تعريف اصناف تدهور التربة على اساس التحول في قيم هذه الصفات مع زيادة تملح التربة .

، اذ $\gamma_{a,b}^{sph}(\mathbf{h})$ تمثل دالة التنبؤ المكانى و a المدى و b عتبة ثبات المسافة بين قيم المتغير المكانى (Lichtenstern ، 2013)

2. اختبار دقة تنفيذ الموديل و تمت بقياس درجة الانحدار الخطى بين القيم المستخلصة Kriging Value و صفات التربة المقاسة Mختبرياً Actual Value ضمن برنامج Microsoft Excel الاصدار 2010 .

4. اصناف خرائط التدهور الكيميائي في التربة

جدول(1) : يبين نتائج التحاليل المختبرية لكل موقع في منطقة الدراسة.

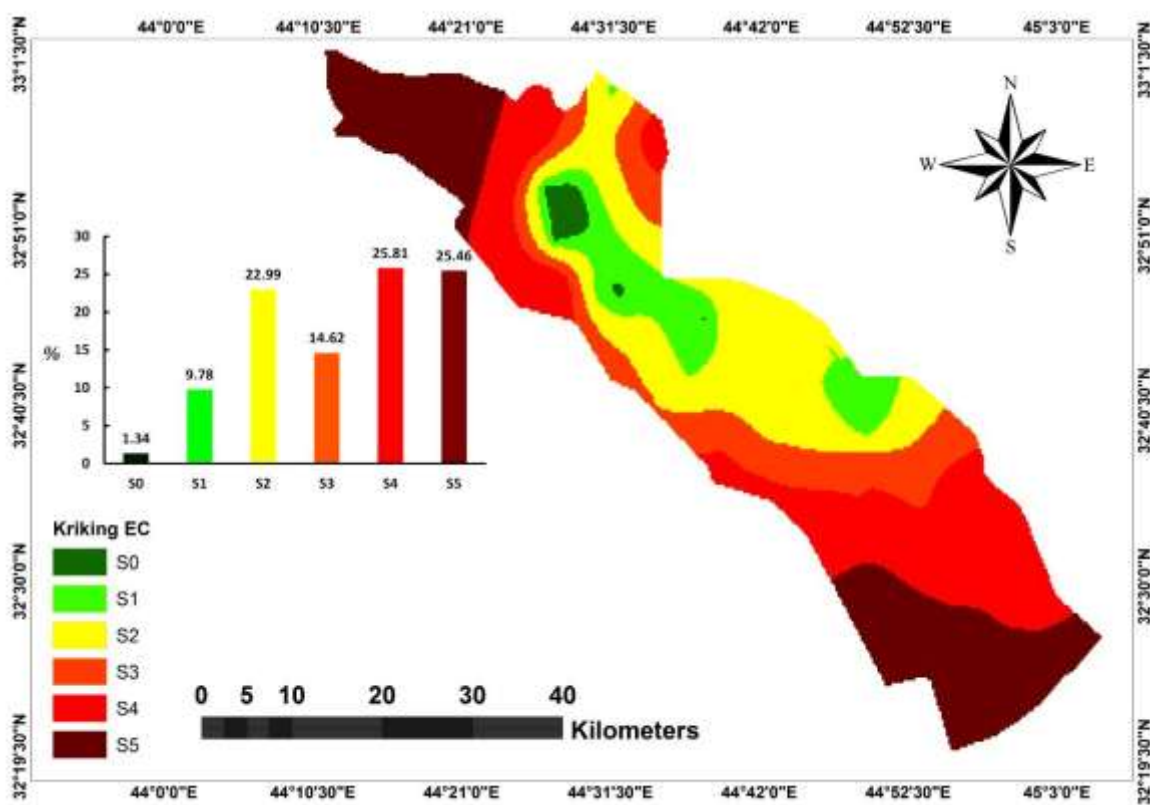
Sites	$pH_{1:1}$	$dS.m^{-1}$	Sol_Cations $m.molc.L^{-1}$				SAR	$cmol_c. Kg^{-1}$		ESP%
			$EC_{1:1}$	Ca	Mg	Na		exch. Na	CEC	
S1	6.92	59.78	147.09	261.49	171.66	0.89	12.01	12.00	43.42	27.64
S2	7.30	35.93	89.37	158.99	103.45	0.61	9.28	10.31	41.62	24.78
S3	7.22	38.66	95.98	170.72	111.26	0.64	9.63	10.55	41.88	25.20
S4	7.39	30.22	75.55	134.45	87.11	0.53	8.50	9.74	41.02	23.74
S5	6.83	70.63	173.34	308.14	202.68	1.03	13.06	12.55	43.99	28.53
S6	6.65	91.66	224.24	398.52	262.83	0.98	14.89	13.42	44.90	29.88
S7	7.38	35.65	88.69	157.78	102.65	0.60	9.25	10.28	41.59	24.72
S8	7.68	3.77	11.54	20.76	11.47	0.21	2.85	2.83	33.74	8.39
S9	7.38	30.77	76.88	136.81	88.69	0.54	8.58	9.79	41.09	23.83
S10	7.27	38.14	94.72	168.48	109.76	0.63	9.57	10.50	41.83	25.11
S11	7.46	21.50	54.45	96.96	62.18	0.43	7.15	8.61	39.84	21.61
S12	7.38	34.88	86.83	154.48	100.44	0.59	9.14	10.21	41.52	24.59
S13	7.20	47.24	116.74	207.60	135.79	0.74	10.66	11.22	42.58	26.34
S14	6.68	83.11	203.55	361.78	238.37	0.94	14.18	13.10	44.57	29.38
S15	7.56	5.56	15.88	28.45	16.59	0.24	3.52	4.12	35.09	11.74
S16	7.55	5.71	16.24	29.10	17.02	0.24	3.57	4.21	35.18	11.96
S17	7.61	4.28	12.78	22.94	12.93	0.22	3.06	3.25	34.18	9.50
S18	7.42	24.15	60.86	108.35	69.75	0.46	7.58	8.99	40.22	22.35
S19	7.49	7.75	21.18	37.86	22.85	0.26	4.21	5.22	36.26	14.38
S20	7.48	13.17	34.29	61.16	38.36	0.33	5.55	6.98	38.11	18.30
S21	7.46	15.81	40.68	72.50	45.90	0.36	6.10	7.58	38.76	19.57
S22	7.49	12.45	32.55	58.07	36.30	0.32	5.39	6.79	37.92	17.91
S23	7.59	5.31	15.27	27.37	15.88	0.23	3.44	3.97	34.94	11.36
S24	7.04	59.45	146.29	260.08	170.71	0.89	11.98	11.98	43.39	27.62
S25	6.98	69.03	169.47	301.26	198.11	1.01	12.91	12.48	43.92	28.42
S26	7.41	24.22	61.03	108.65	69.96	0.46	7.60	9.00	40.25	22.36
S27	7.61	4.65	13.67	24.54	13.99	0.23	3.20	3.53	34.46	10.24
S28	7.12	57.41	141.35	251.30	164.87	0.87	11.77	11.86	43.27	27.42
S29	7.63	3.80	11.62	20.88	11.56	0.21	2.87	2.86	33.77	8.46
S30	7.40	25.44	63.98	113.89	73.45	0.48	7.79	9.16	40.42	22.66
S31	7.45	23.03	58.15	103.54	66.55	0.45	7.40	8.83	40.08	22.04
S32	7.77	3.75	11.50	13.44	11.41	0.21	3.23	2.81	33.72	8.33
S33	7.50	6.29	17.64	25.58	18.68	0.25	4.02	4.53	35.52	12.75

النتائج و المناقشة

اولاً. خرائط مؤشرات تملح التربة المستقلة

1. خارطة توزيع اصناف ملوحة التربة

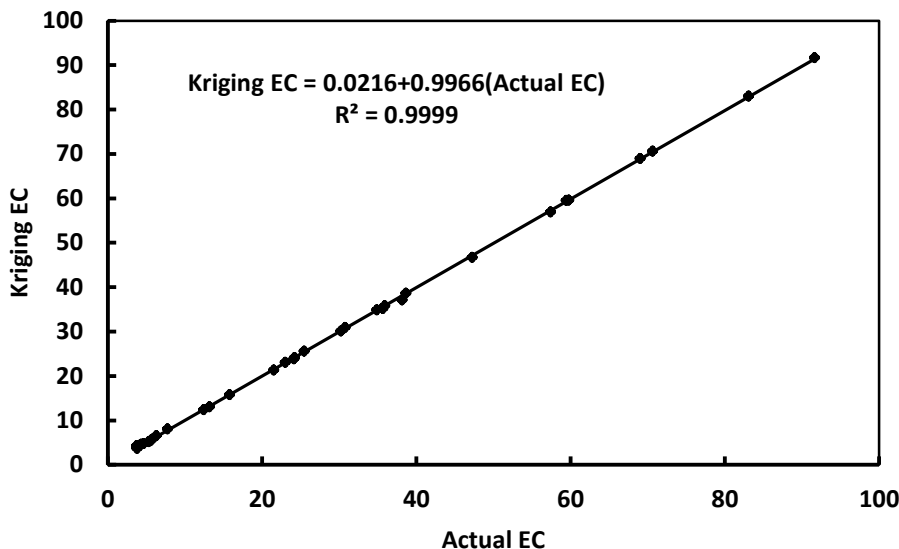
يظهر الشكل (2) التوزيع المكاني لاصناف ملوحة التربة ، اذ بلغت مساحة الصنف (S0) 2549.24 هكتار (%25.46) ، ان هذا التوزيع يمثل الواقع المتردي لترب المنطقة الشرقية من محافظة بابل من حيث غياب التوزيع المتجانس لمياه الري و انحسار شبكات البزل الفعالة و اهمالها و اعتماد القنوات الترابية المفتوحة في ادارة توزيع المياه و الخلط مع مياه البزل المالحة كلها ادت الى تحول معظم المنطقة او في طريقها لتصبح صحراء ملحة قاحلة .



الشكل (2) : يوضح التوزيع المكاني لاصناف ملوحة التربة و النسب المئوية لمساحتها في منطقة الدراسة .

المساحات الزراعية المتبقية دون تدهورها مما يعني خسارة هذا المورد الهام اقتصادياً على مستوى الاقتصاد الوطني لاي بلد و خاصة بلدان العالم النامية . ان دقة تمثيل موديل Kriging الكروي لهذا التوزيع بلغت $R^2 = 0.9999$ كما في الشكل (3) :

، اذ بين Nezami و Alipour ، 2012 ان خرائط ملوحة التربة باتت من اولويات الكشف وتحديد مساحات اصناف ملوحة التربة للمؤسسات الزراعية بغية الحد من اتساعها او المحافظة على

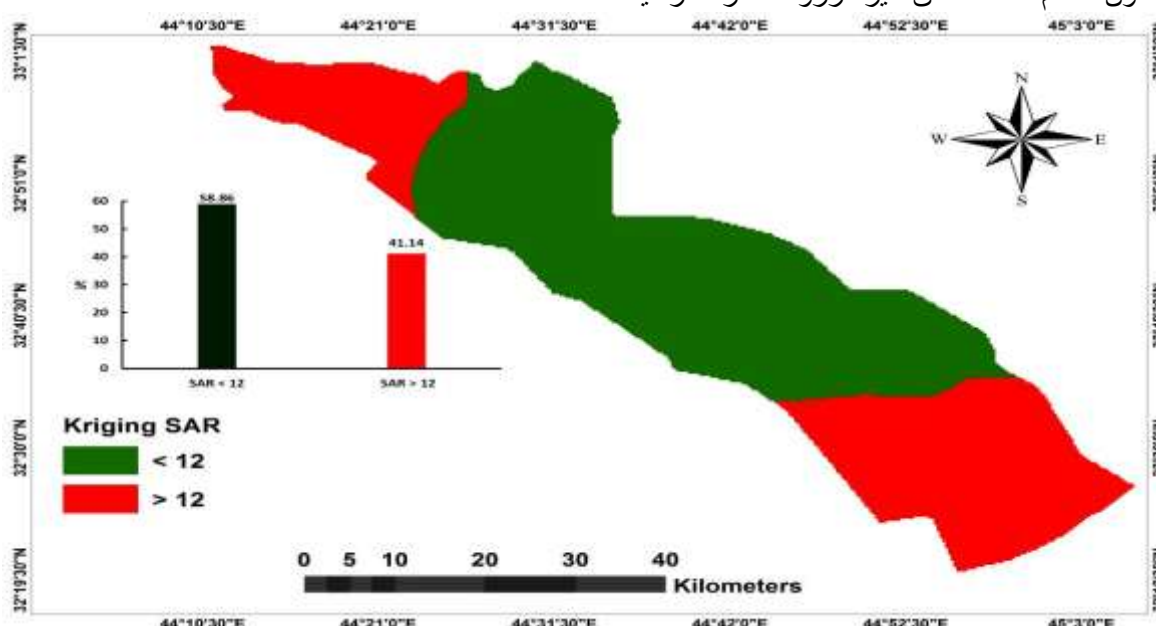


الشكل (3) : يظهر دقة تمثيل موديل Kriging الكروي للتوزيع المكاني لاصناف ملوحة التربة .

قد تصل الى عدة عقود و هي بعيدة عن مصادر الارواء الرئيسية ذات SAR المنخفض ، اذ اشار Darwish و آخرون ، 2014 الى ان ابرز مسبب لزيادة SAR التربة هو غياب الري المنتظم مع عدم تطبيق نظام صرف لاحفاظ على الازان الملحي في التربة مما يسبب ارتقاع الماء الارضي قرب سطح التربة و هو في الغالب ذو ملوحة عالية و نسبة امتراز للصوديوم مرتفعة مما يؤهله ليحل محل الكالسيوم و المغنيسيوم الممترز على غرويات التربة مسبباً تحطم لبناء التربة و وبالتالي تدهور صفاتها الفيزيائية ، فضلاً عن الكيميائية .

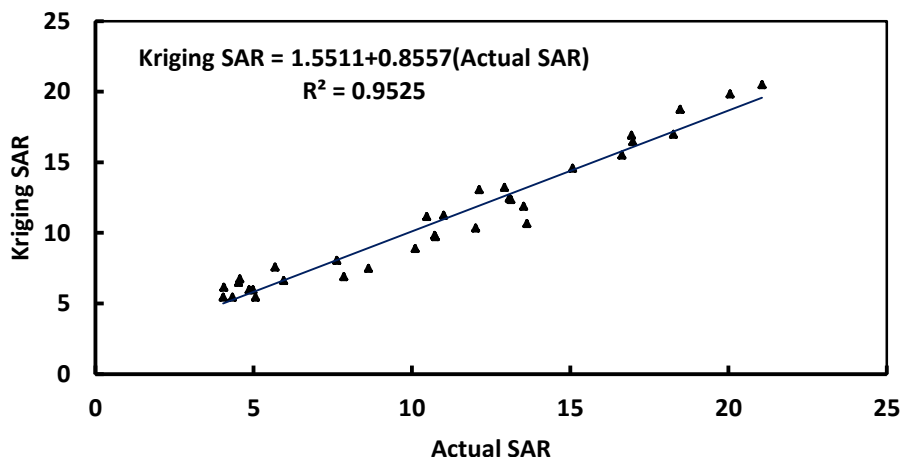
2. خارطة توزيع قيم SAR في منطقة الدراسة

يظهر الشكل (4) ان 111976.44 هكتار (%58.86) هي ترب ذات قيم SAR اقل من 12 اي ان 78265.56 هكتار(%41.14) من مساحة منطقة الدراسة داخلة ضمن التدهور الملحي الشديد و هي بمثابة صحراء ملحية لا يمكن استثمارها لاغراض زراعة المحاصيل الستراتيجية الا بتنافر جهود حثيثة لغسلها و استصلاحها بوسائل التقانات الزراعية الحديثة . كما ان التوزيع المكاني لهذه المساحة المتدهورة هو نتيجة حتمية كون معظم هذه المناطق غير مزروعة لفترات زمنية



الشكل (4) : يوضح التوزيع المكاني لقيم SAR في منطقة الدراسة .

كما ان دقة تمثيل موديل Kriging الكروي لهذا التوزيع بلغت $R^2 = 0.9525$ و كما في الشكل (5) :

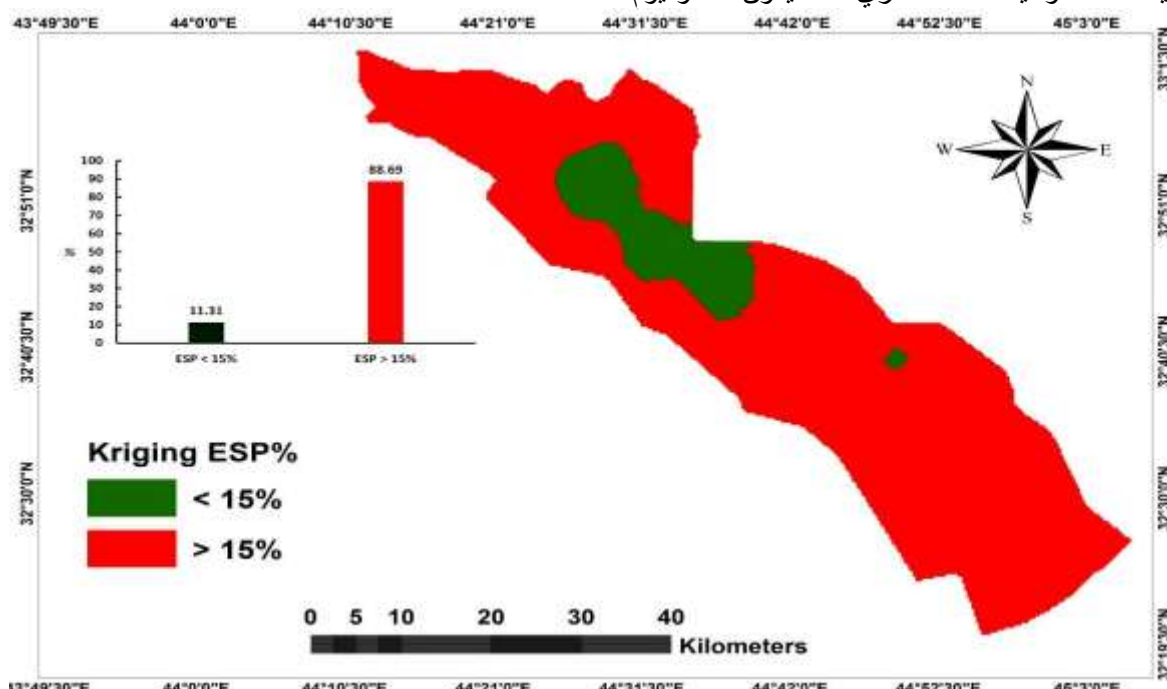


الشكل (5) : يظهر دقة تمثيل موديل Kriging الكروي للتوزيع المكاني لقيم SAR في التربة .

المتبادل سائداً في محلول التربة و ممتازاً على غروياتها بوفرة تسمح بسيادته و خاصة في المراحل المبكرة من التملح و الذي يسمح باتساح سطح التربة باللون الابيض اي سيادة املاح كلوريد الصوديوم لتحول و مع سيادته على موقع التبادل في غرويات التربة و تحرر المغنيسيوم الى محلول التربة بكميات مكافحة تظهر مشكلة تسخين التربة و التي تعبر عن اقصى حد للتدور الملحي في ترب المناطق الجافة من العالم (Lehman و آخرون ، 2015) .

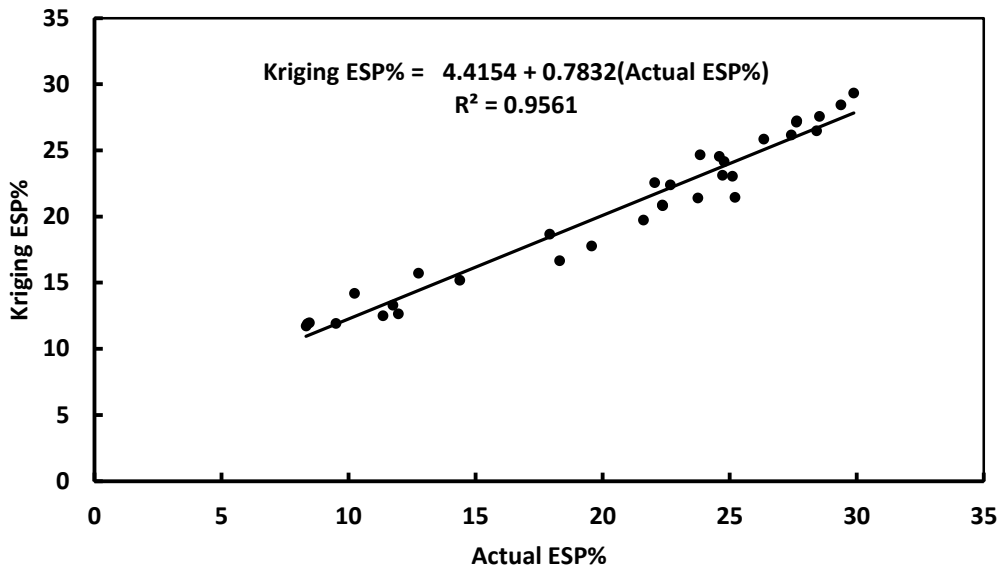
3. خارطة توزيع قيم ESP% في منطقة الدراسة

يظهر الشكل (6) ان 21516.37 هكتار (%11.31) هي ترب لا تعاني مشاكل الصودية و هي نسبة ضئيلة قياساً بالتراب التي تكون فيها ESP% اكبر من 15% ، اذ تشغله هذه الترب 168725.63 هكتار (%88.69) من مساحة منطقة الدراسة و هي زيادة متوقعة في الترب ذات التراكم الملحي و الاستخدام الزراعي لمساحات محدودة غالباً ما تكون بعيدة عن مصادر المياه ذات النوعية الملائمة للري ، اذ يكون الصوديوم



الشكل (6) : يوضح التوزيع المكاني لقيم ESP% في منطقة الدراسة .

ان دقة تمثيل موديل Kriging الكروي لهذا التوزيع بلغت $R^2 = 0.9561$ و كما في الشكل (7) :

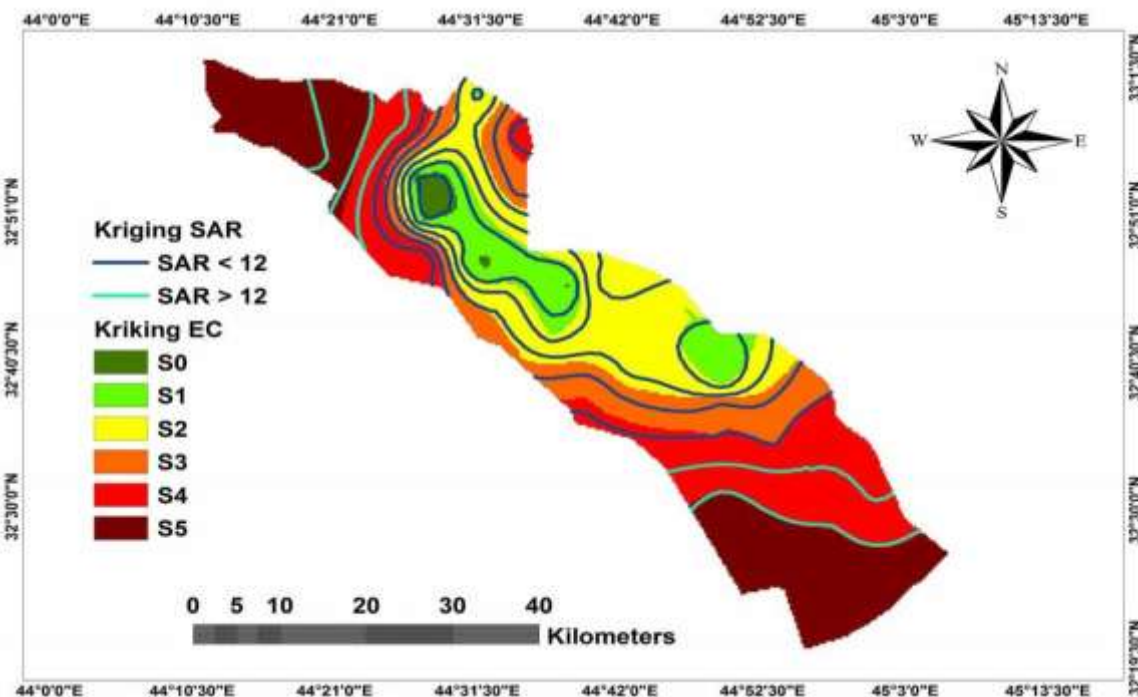


الشكل (7) : يظهر دقة تمثيل موديل Kriging الكروي للتوزيع المكاني لقيم ESP% في التربة .

خطوط الکنترور لقيم SAR الاکبر من 12 علی الصنفین الملحین S4 و S5 و هذا يؤشر دقة التنبؤ المکانی في توزيع المناطق المتملحة سواء كانت ضمن الاستخدام الزراعی او التدهور الكیمیائی (Lark, 2009) .

ثانياً. خرائط مؤشرات التملح المركبة

1.1 اعداد خارطة التدهور الملحي بدالة SAR : يظهر الشكل (8) ان خطوط الکنترور الخاصة بقيم SAR التربة الاقل من 12 كانت ضمن الاصناف الملحية من S0 الى S3 في حين تموضعت

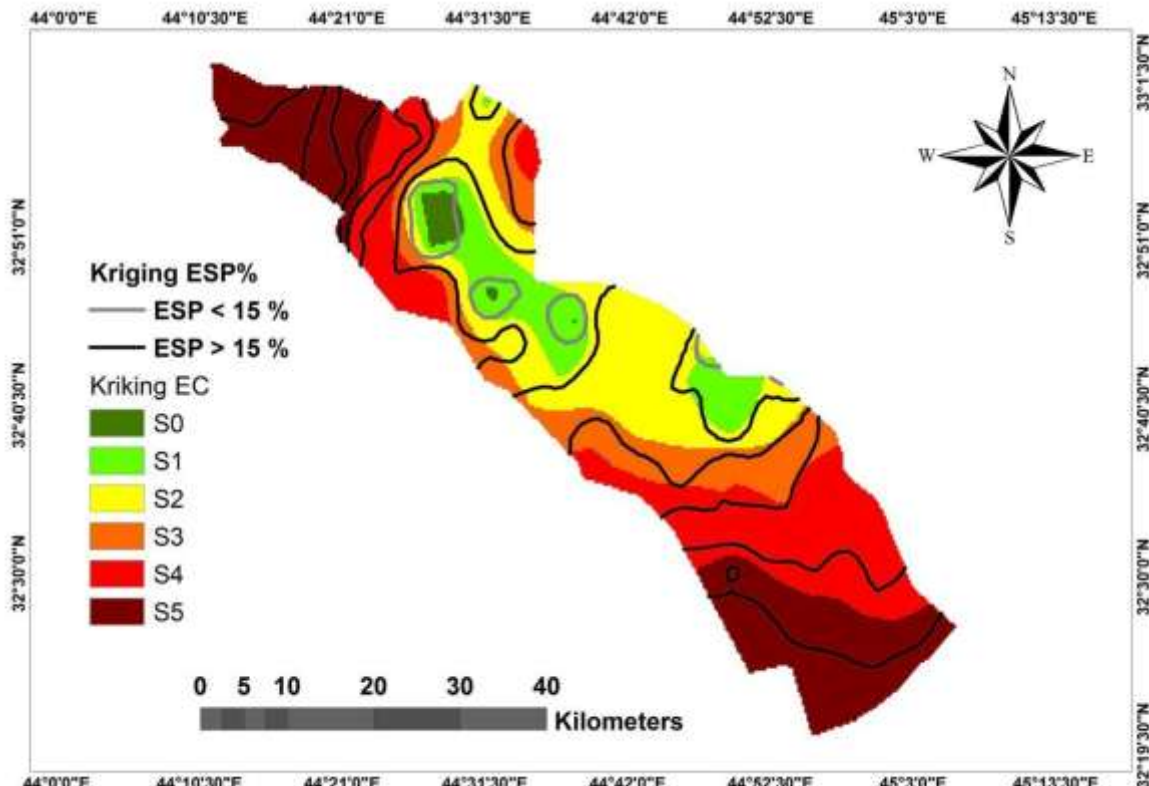


الشكل (8) : يوضح التوزيع المكاني لاصناف ملوحة التربة موزعة عليها قيم SAR في منطقة الدراسة .

الملحية S2 إلى S5 مما يؤشر ظهور مخاطر سيادة الصوديوم المتبدال في محلول التربة و بدء مشاكل التدهور الكيميائي مبكراً في اصناف الترب الملحة و خاصة (S2) و (S3) الذي ينقدم التملح عنه تحول الترب في هذه المنطقة الى صحراء ملحية . (Panagopoulos و آخرون 2015).

2.2 اعداد خارطة التدهور الملحى بدلالة ESP%

يظهر الشكل(9) ان خطوط الكنتور الخاصة بقيم ESP% الاقل من 15% تموضت فوق صنفي ملوحة التربة S0 و S1 و التي تمثل الاراضي ذات الاستخدام الزراعي المستمر في حين تموضت قيم ESP% الاكبر من 15% فوق الاصناف

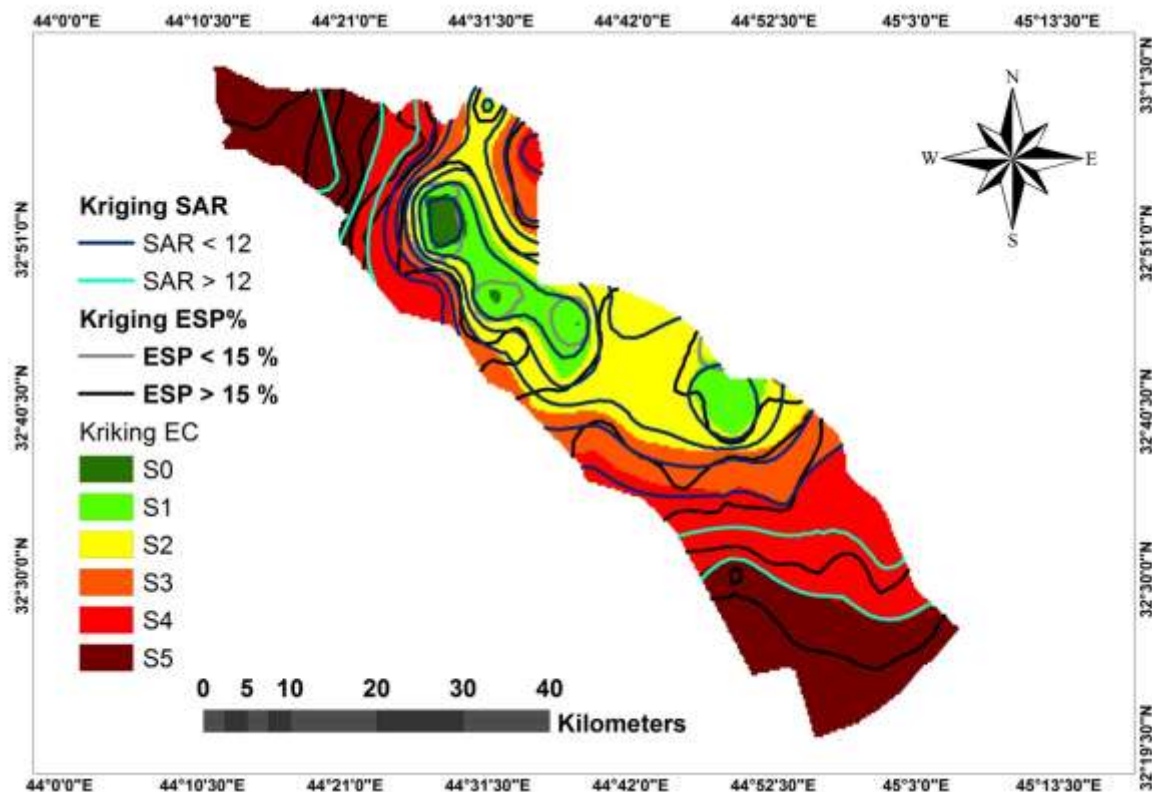


الشكل (9) : يوضح التوزيع المكاني لاصناف ملوحة التربة موزعة عليها قيم ESP% في منطقة الدراسة .

التي تعانى مراحل متوسطة الخطورة من عمليات التملح كونها غير خاضعة حالياً للزراعة و التي تقع ضمن الصنفين الملحيين للتربة (S2) و (S3) و تبلغ مساحتها 71550.02 هكتار (%37.61) ، في حين يمثل الصنف (SDS3) الترب ذات الاصالية الكهربائية الاكثر من 35 ديسمنز .م⁻¹ و اكبر من 23% و SAR اكبر من 12 و هي ترب متدهورة ملحاً و بصورة لا يمكن العودة بها الى حالها الاصلي او من الصعوبة البالغة و المكلف اقتصادياً استصلاحها و تندرج ضمن الصنفين الملحيين للتربة (S4) و (S5) و تبلغ مساحتها 97537.07 هكتار (%51.27) .

3.2 اعداد خارطة التدهور الملحى بدلالة SAR و ESP%

من الشكلين (8 و 9) يمكن صياغة خارطة للتد وهو الملحى بدلالة SAR و ESP% و الموضحة في الشكل (10) ، اذ تتضمن دمج الصنفين S0 و S1 ليصبح (SDS1) و الذي يمثل الترب الزراعية غير المتدهورة ذات الاصالية الكهربائية الاقل من 8 ديسمنز .م⁻¹ و اقل من 15% و SAR اقل من 12 ، اذ يشكل هذا الصنف 21154.91 هكتار (%11.12) فقط من ترب هذه المنطقة ، اما الصنف (SDS2) فيمثل الترب ذات الاصالية الكهربائية الاكثر من 8 - 35 ديسمنز .م⁻¹ و ESP% اكبر من 23-%15 و SAR اقل من 12 و الذي يمثل الترب



الشكل (10) : يوضح التوزيع المكاني لملوحة التربة موزعة عليها قيم SAR و ESP% في منطقة الدراسة .

المصادر

- Brus , D. J. and G . B. M. Heuvelink . 2007 . Optimization of sample patterns for universal kriging of environmental variables. Geoderma 138 : 86–95 .
- Darwish , K . H . M . , M . A . El-Bordiny and A.S. Salam . 2014 . Geospatial Analysis for Salinity Hazard Within a Semiarid Context . Intl. J. Water Resources and Arid Environ. 3(2): 96-107.
- Douaika , A. , b. T. M . Van Meirvennea and T. Tothc . 2005 . Soil salinity mapping using spatio-temporal kriging and Bayesian maximum entropy with interval soft data .Geoderma 128 : 234– 248 .
- Esri. 2013. Manual of ArcGIS 10.2.1. California . USA.
- Lark, R.M .2009. Kriging a soil variable with a simple nonstationary variance model. J. Agric. Biol. Environ. Stat. 14: 301–321.

الاستنتاجات والتوصيات

توصلت هذه الدراسة الى الاتي :

1. اظهرت امكانية اعداد خرائط لمؤشرات ملوحة التربة باستخدام الاحصاء الجيولوجي و ضمن برامجيات ArcGIS و بدقة عالية المعنوية .

2. امكانية استباط خرائط ملحية بدلالة ESP% او SAR او مع كلا هذين المؤشرين .

كما توصي هذه الدراسة بالاتي :

1. تبني هذه الالية في اعداد خرائط الملوحة و مؤشرات التملح المهمة .

2. متابعة التغيرات الزمانية لاصناف ملوحة التربة و مؤشرات التملح في المنطقة .

- Panagopoulos , T . , J . D . Jesus and J . Ben-Asher . 2015 . Tools for Optimizing Management of a Spatially Variable Organic Field . *Agronomy* . 5: 89-106.
- Papanicolaou, E.P. 1976.Determination of cation exchange capacity of calcareous soils and their percent base saturation. *Soil Sci.* 121:65-71.
- Richards, L.A. 1954. Diagnosis and improvement of saline and alkalin soils. U.S.D.A. Handbook No. 60.
- S.O.L.R. 1982 . Specification for soil Survey and hydrological investigations in Iraq . State Organization for Land Reclamation . Baghdad . Iraq .
- Seilsepour , M . , M . Rashidi and B. G. Khabbaz . 2009. Prediction of Soil Exchangeable Sodium Percentage Based on Soil Sodium Adsorption Ratio . *American-Eurasian J. Agric. & Environ. Sci.* 5(1): 1 – 4 .
www.remotesensing.usgs.gov.
- Zare-Mehrjardi , M . , R . Taghizadeh-Mehrjardi and A . Akbarzadeh . 2010 . Evaluation of Geostatistical Techniques for Mapping Spatial Distribution of Soil PH, Salinity and Plant Cover Affected by Environmental Factors in Southern Iran . *Not. Sci. Biol.* 2 (4) : 92-103 .
- Lehman , R . M . , C. A. Cambardella , D. E. Stott , V. Acosta-Martinez , D. K. Manter , J. S. Buyer , J. E. Maul , J. L. Smith , H. P. Collins , J. J. Halvorson , R. J. Kremer , J. G. Lundgren , T. F. Ducey, V. L. Jin and D. L. Karlen . 2015 . Understanding and Enhancing Soil Biological Health : The Solution for Reversing Soil Degradation . *Sustainability* . 7: 988-1027.
- Lichtenstern , A . 2013 . Kriging methods in spatial statistics . Technics University Munich . Department of Mathematics . Bachelor's Thesis .
- Moasher , S . A . , A . S . Goshki and A . Parsaie . 2013 . “SAR” Qualities parameter persistence by a compound method of geostatic and artificial neural network (Case study of Jiroft plain) .*Int. J. Agri. Crop Sci.* 6(3) : 157-166.
- Nezami , M . T . and Z . T . Alipour . 2012 . Preparing of the soil salinity map using geostatistics method in the Qazvin Plain . *Journal of Soil Science and Environmental Management* . 3(2) : 36 – 41 .
- Page , A.L., R.H. Miller, and D.R. Kenney. (1982). Methods of Soil Analysis Part (2). 2nd ed. *Agronomy* 9 Am. Soc. Agron. Madison, Wisconsin.